







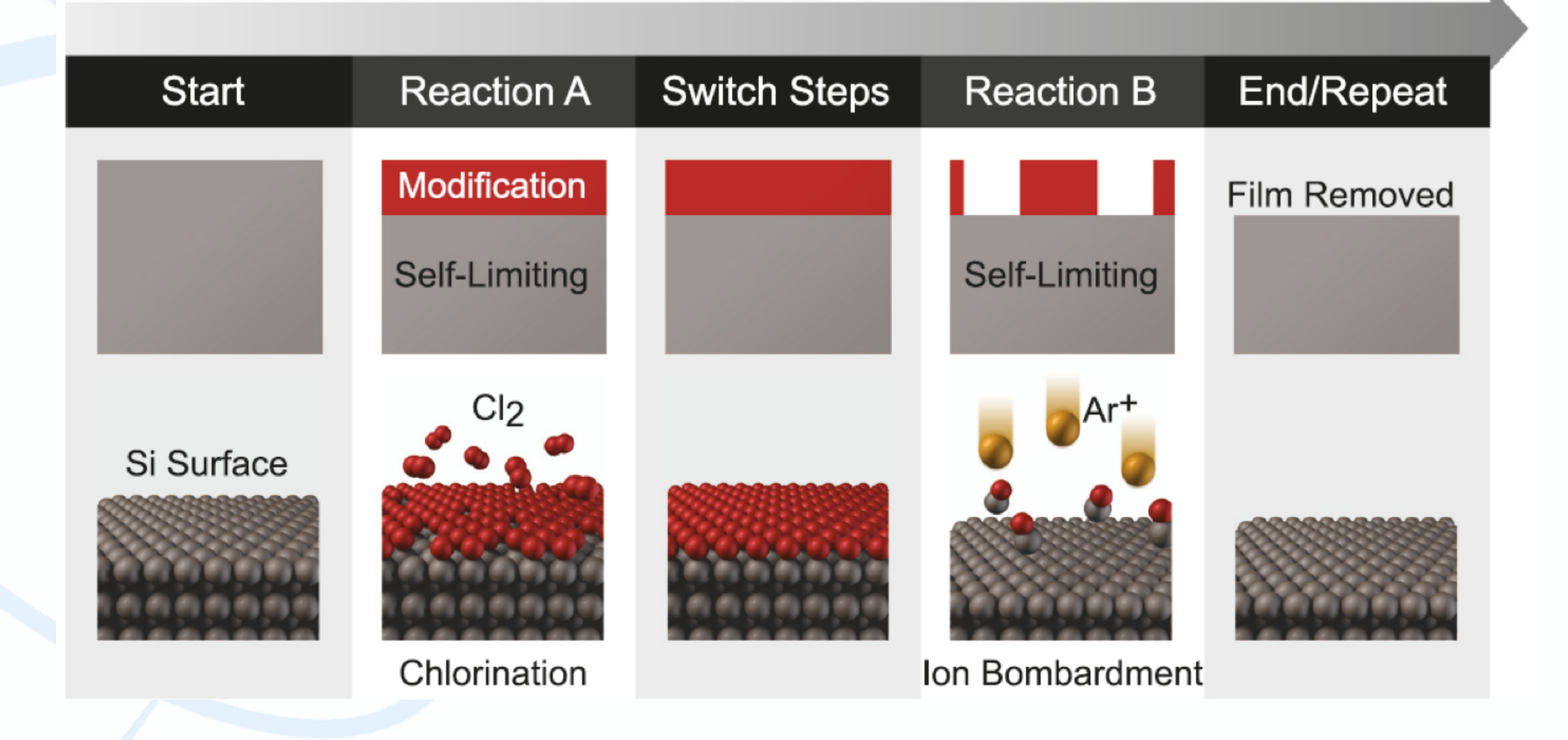


# Sputtering of amorphous Si and SiO2 by low-energy Ar+, Kr+ and Xe+ ions

D.R. Shibanov, D.V. Lopaev, S.M. Zyryanov, A.I. Zotovich, A.T. Rakhimov

Lomonosov Moscow State University, Skobeltsyn Institute of Nuclear Physics (SINP MSU), Moscow, Russia

### Atomic Layer Etching





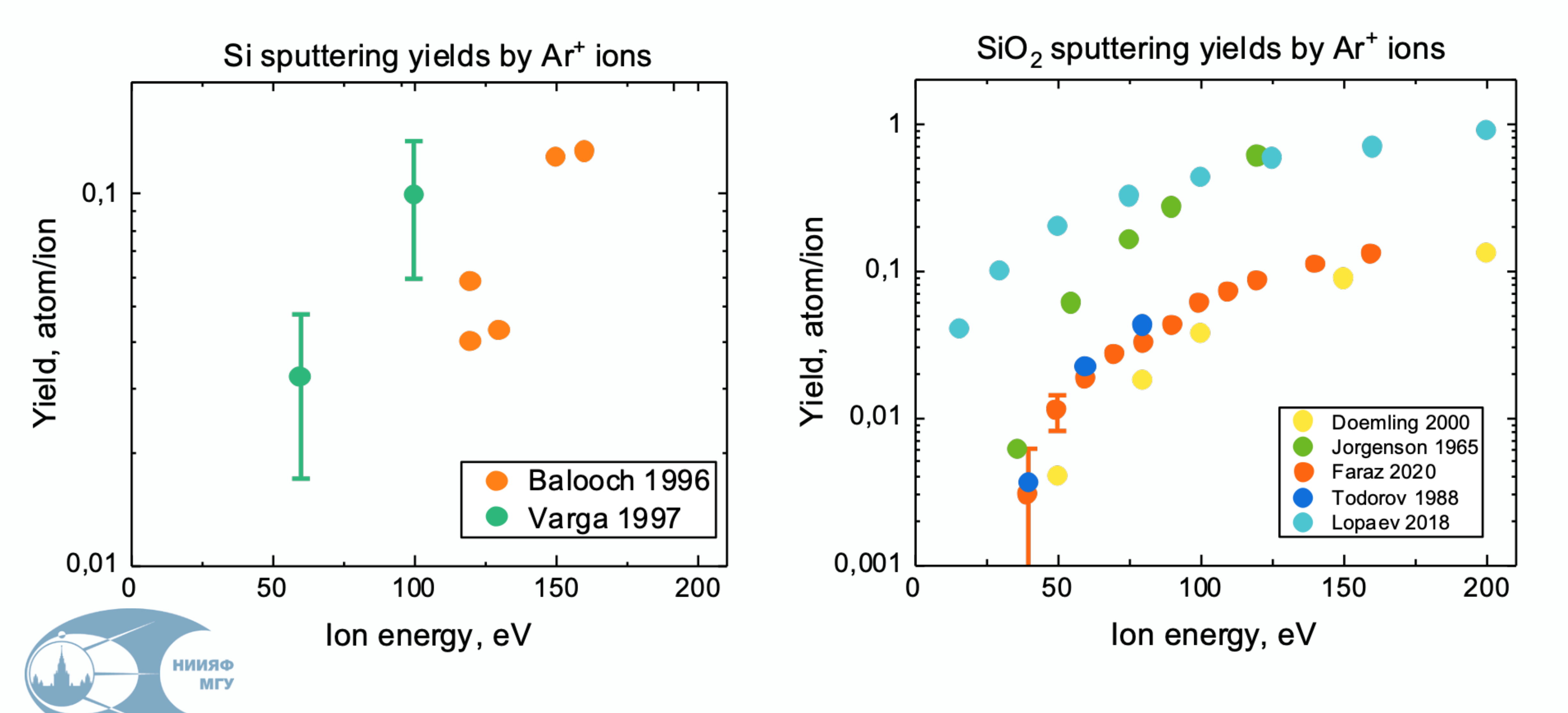
K. Kanarik, T. Lill, E. Hudson et al., "Overview of atomic layer etching in the semiconductor industry", J. of Vac. Sci. & Tech. A, 2015

### 2-й шаг: бомбардировка ионами

Необходим **точный подбор диапазона энергий ионов**, чтобы:

- а) приносимой **энергии** было **достаточно для удаления** модифицированного слоя;
- b) при этом ионы не распыляли немодифицированный материал;
- с) вклад имплантации ионов в структуру материала был минимален.
- Важно учитывать влияние плазмы на материал, т.к. потоки ВУФ-фотонов и метастабильных атомов могут влиять как на процесс удаления модифицированного слоя так и на немодифицированный материал.

### Обзор существующих экспериментов



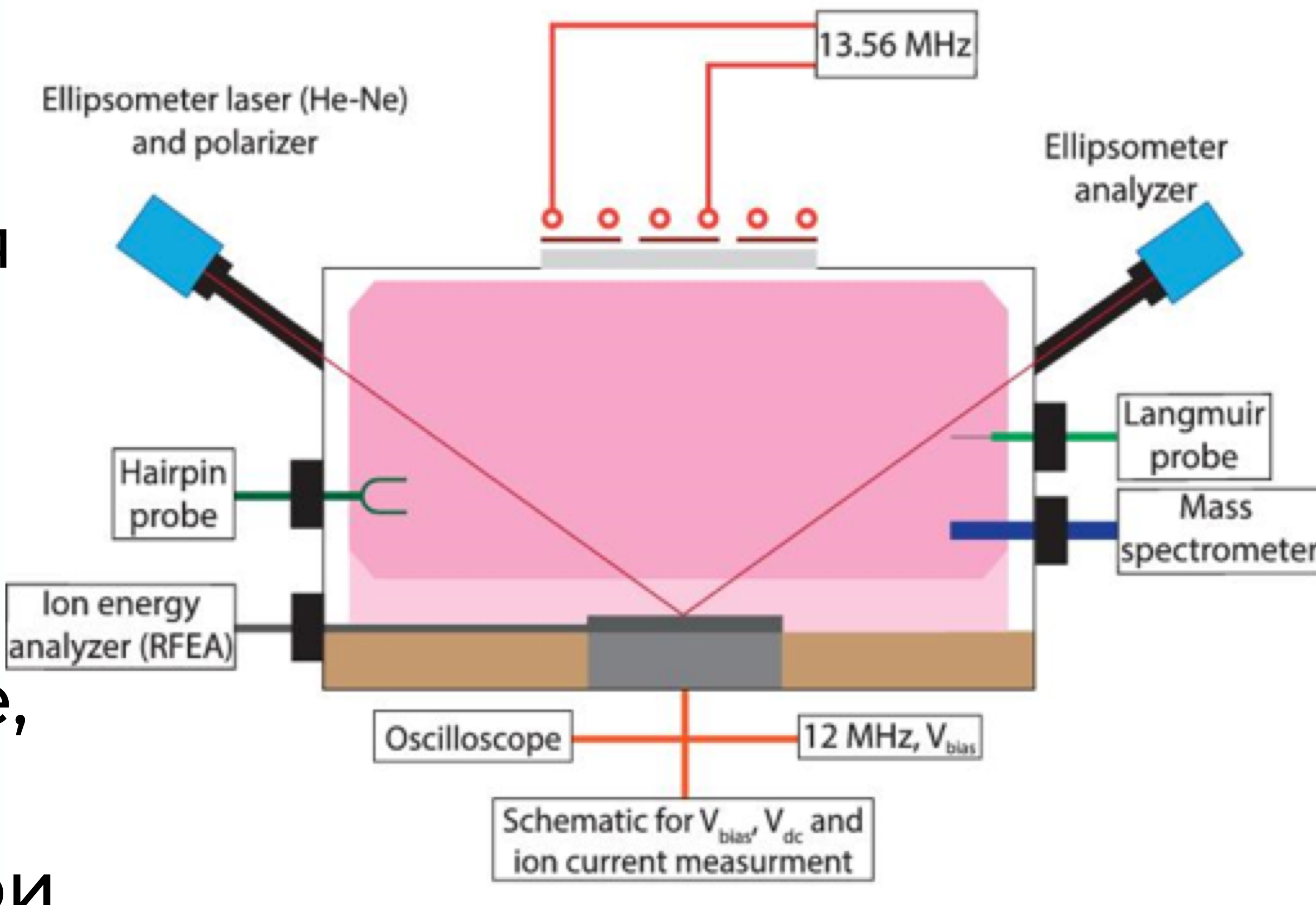
### Экспериментальные условия

• ІСР плазма в чистых Ar, Kr и Xe на частоте 13,56 МГц

• **Давление** в камере **10 мТорр** для Ar и Kr, и **5 мТорр** для Xe

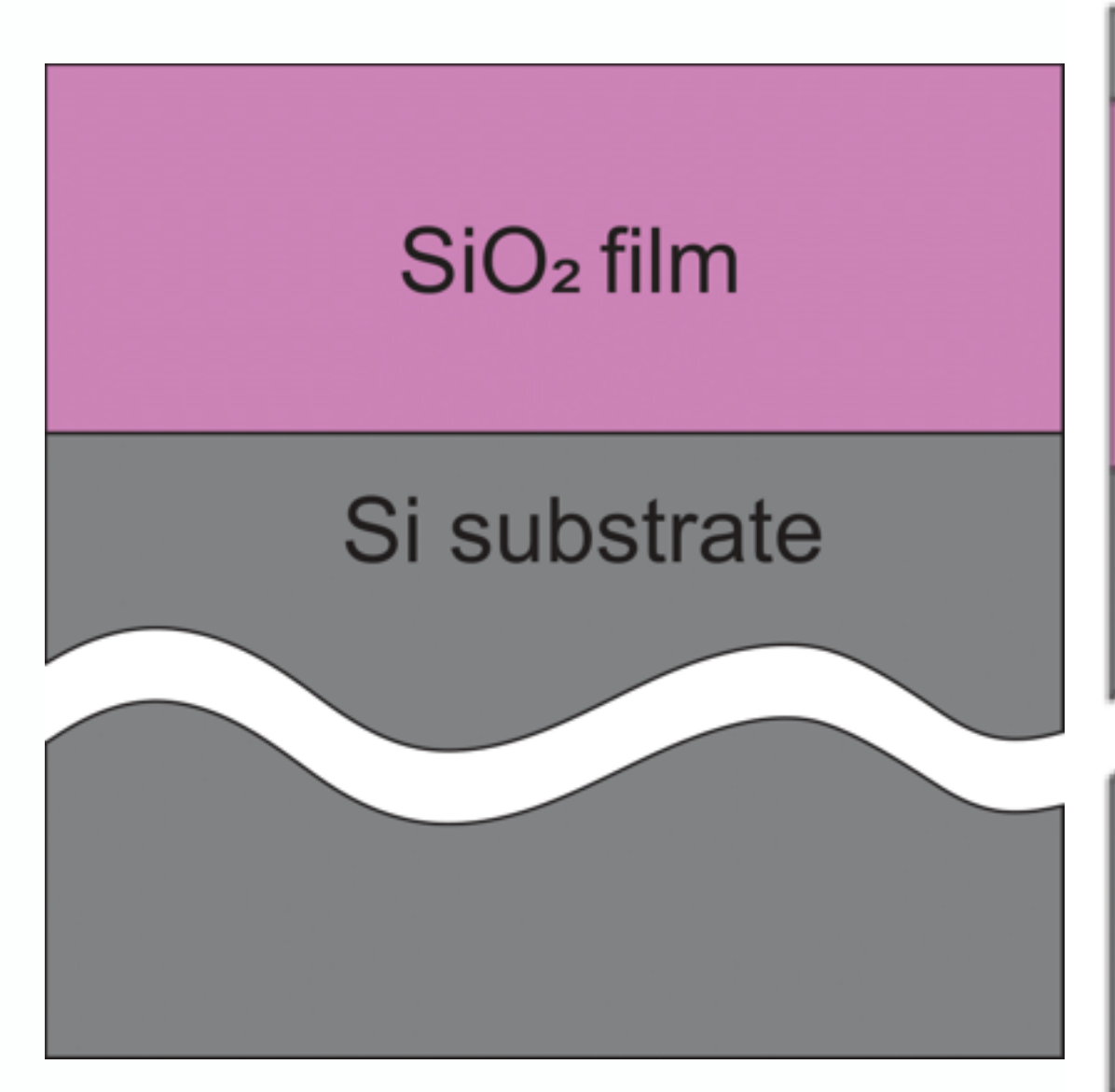
Электронная плотность плазмы
 ~1,2×10 см<sup>-3</sup>

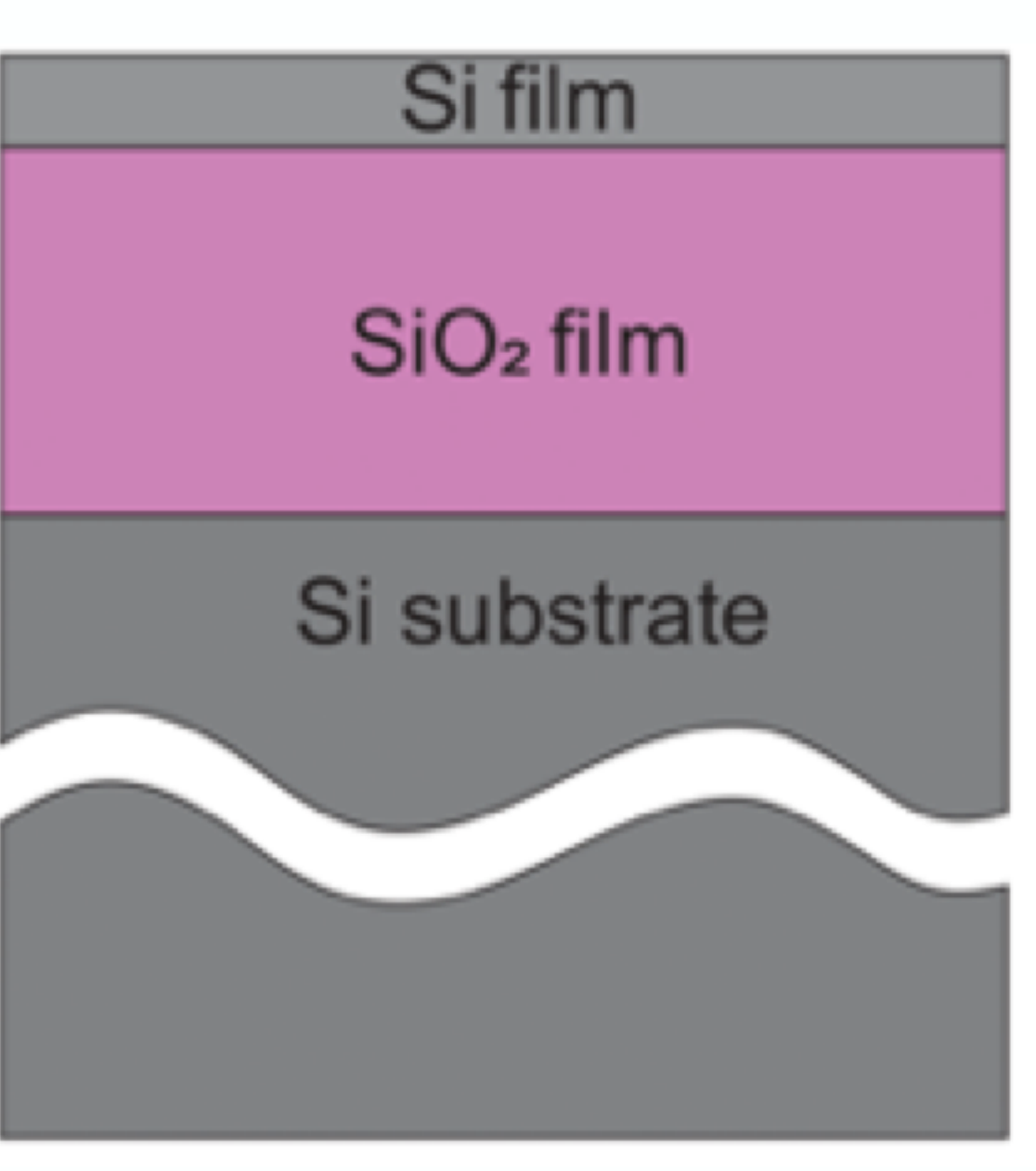
Энергии ионов: 18 эВ для Кг и Хе,
 22 эВ для Аг без смещения, и 25,
 50, 75, 100, 125, 150, 175, 200 эВ при приложенном напряжении
 смещения на частоте 12 МГц

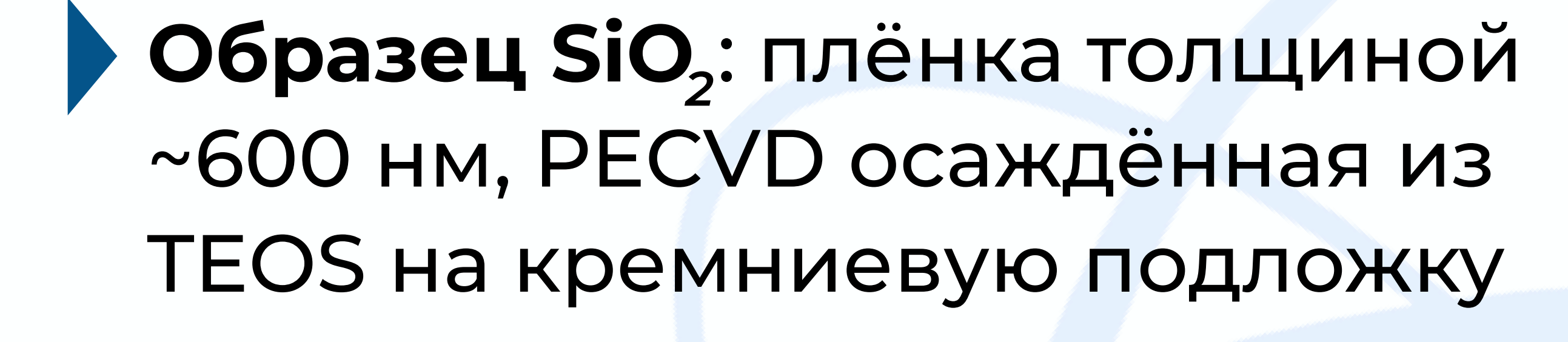




### Образцы





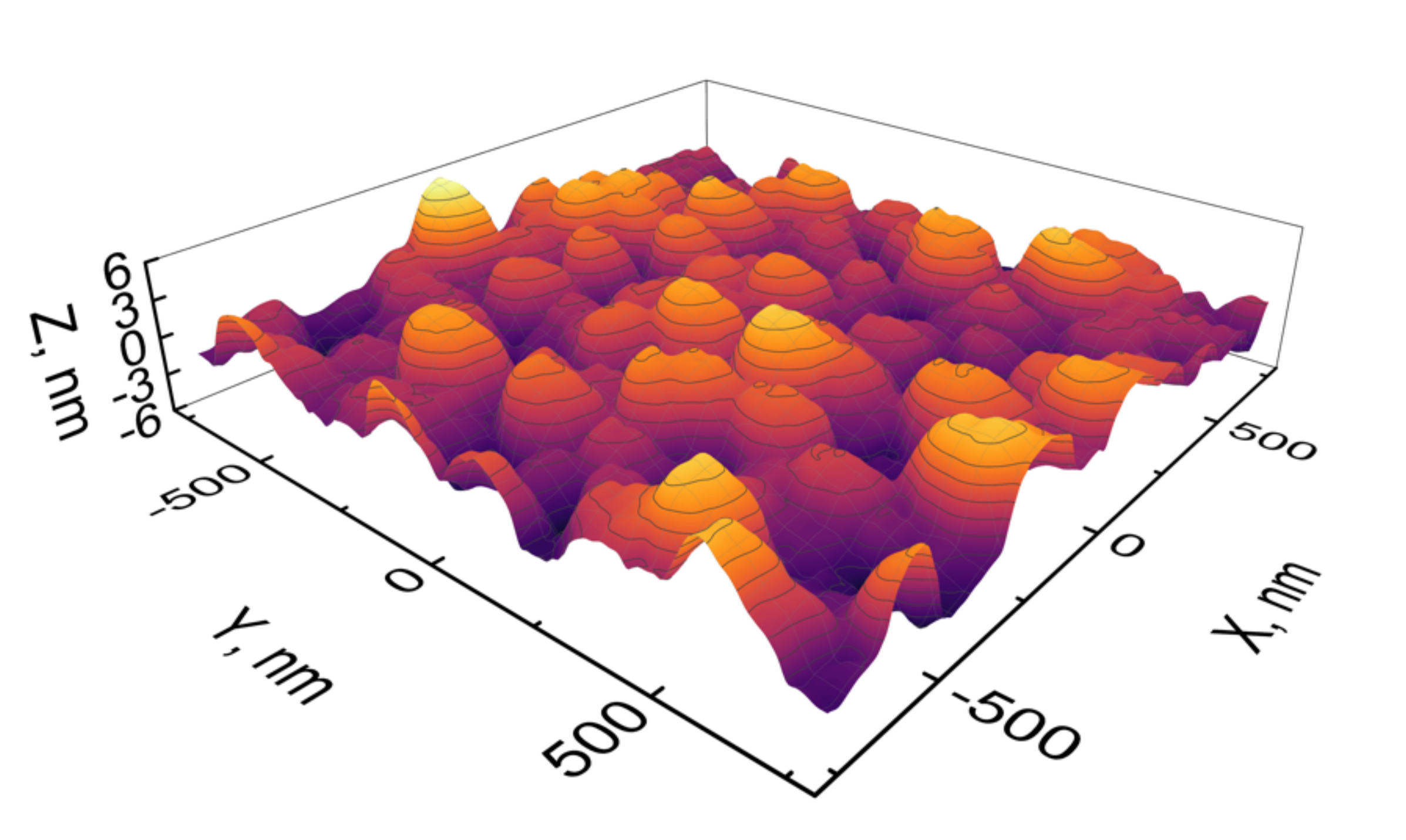


- Образец Si: плёнка толщиной ~150 нм, напылённая на образец SiO2 в магнетроне
- **Измерение толщины плёнки: в реальном времени** лазерный эллипсометр

контроль до и после распыления
– спектрографический
эллипсометр

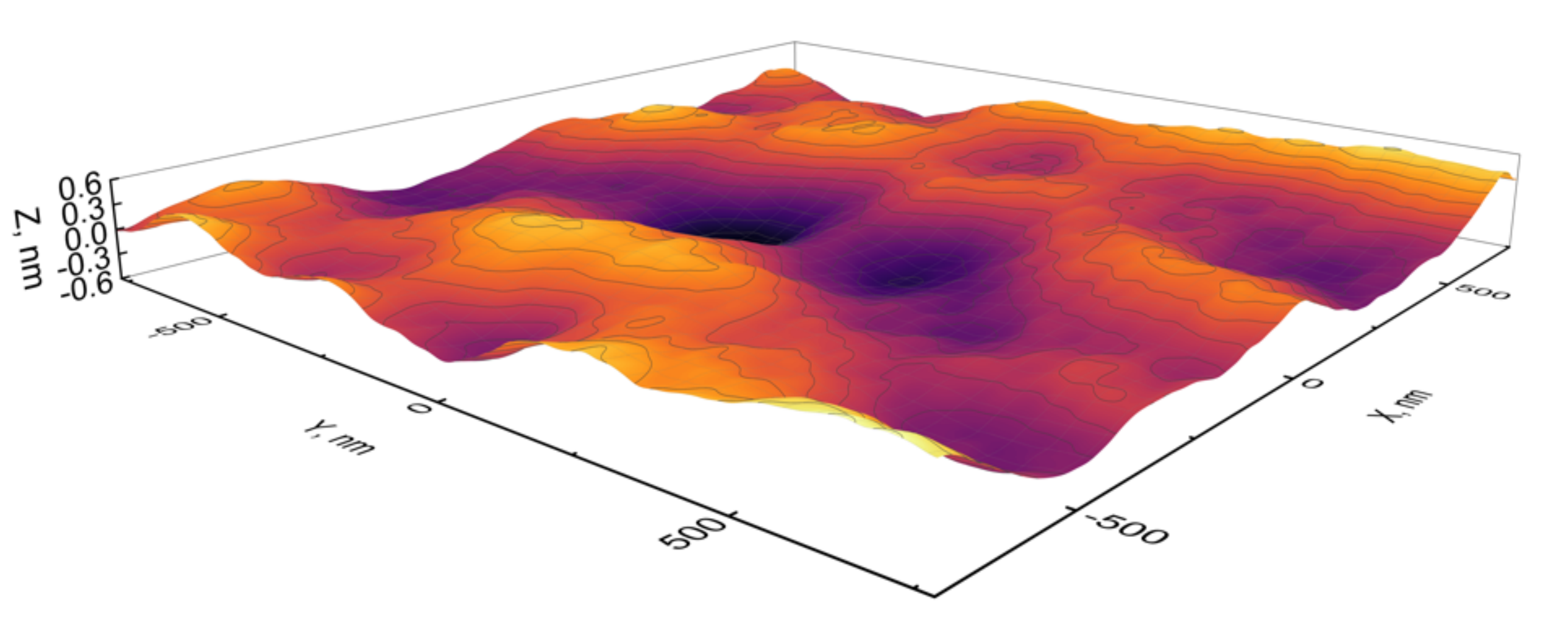


## ACM (AFM) Si

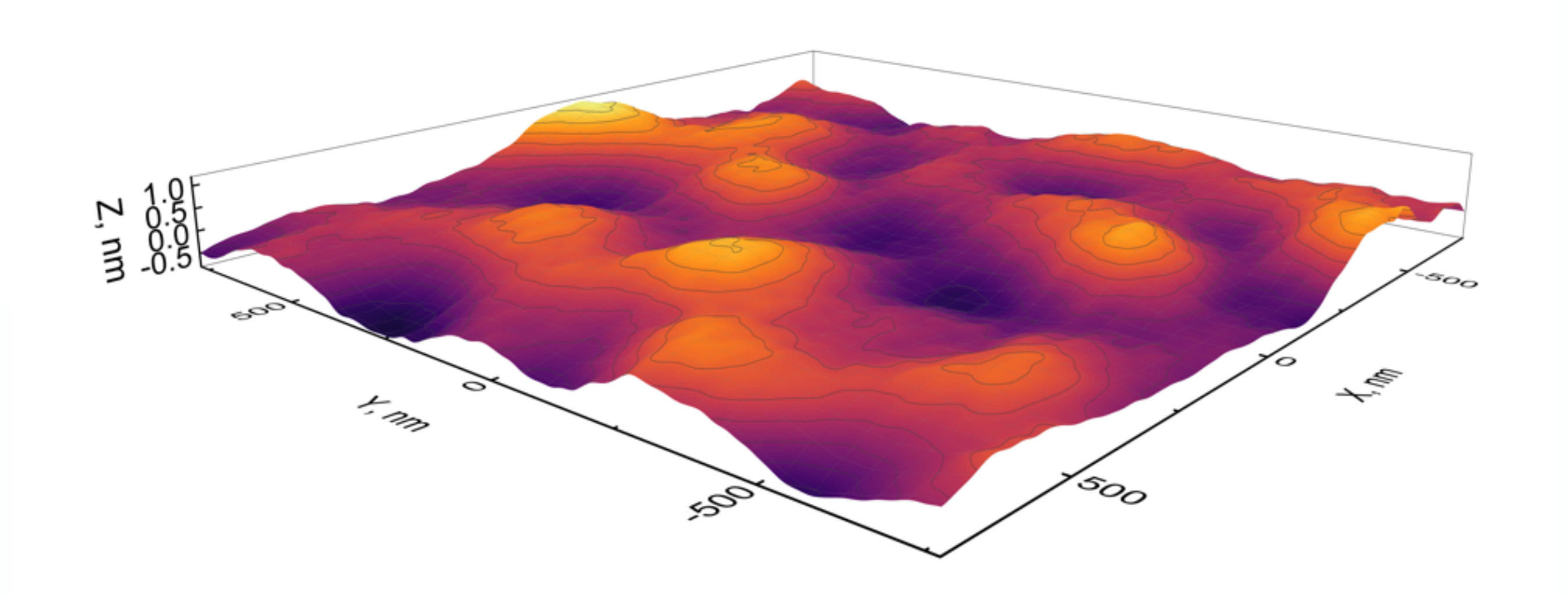


До распыления

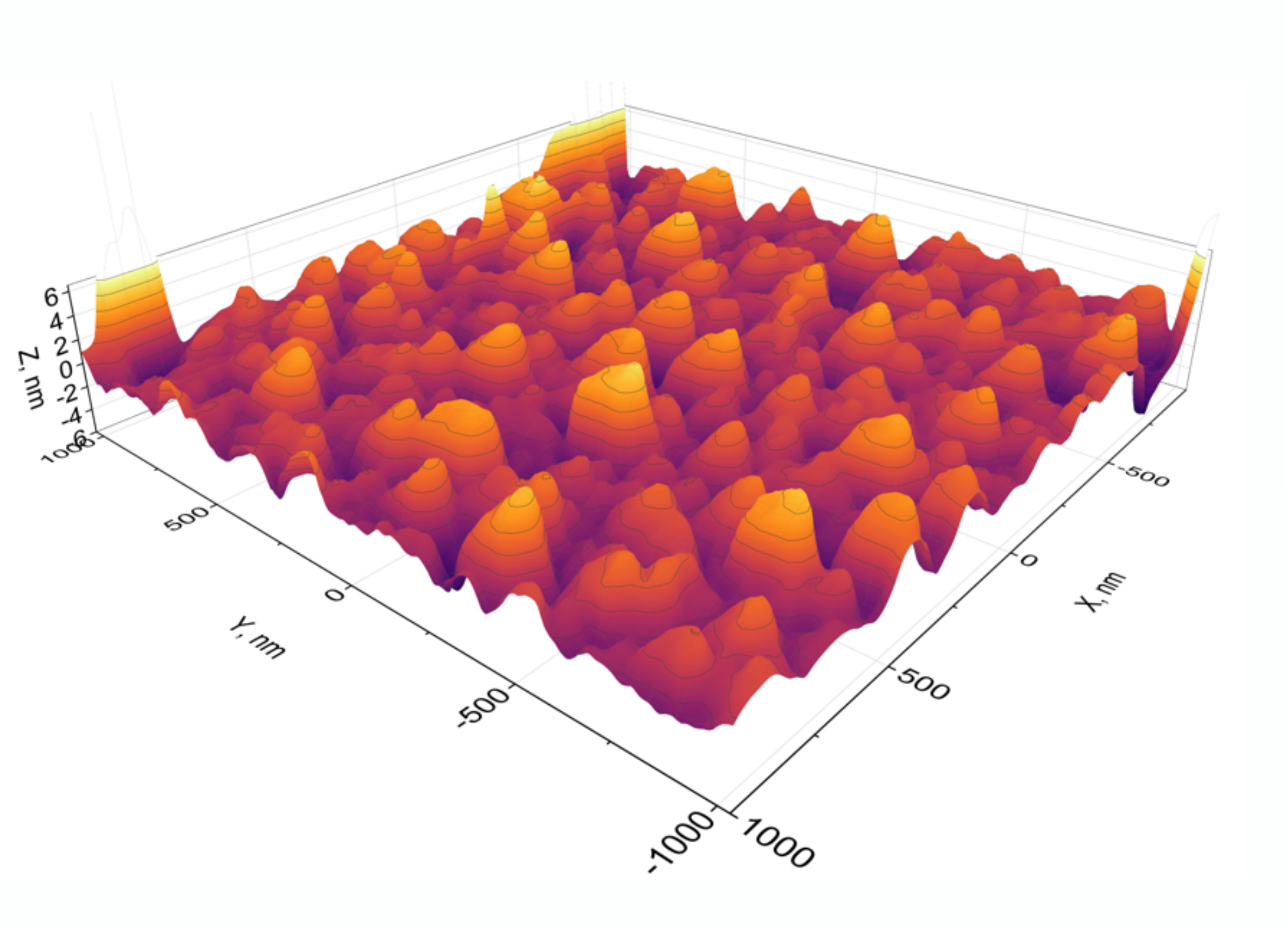
### После распыления 200 эВ ионами Ar+



#### После распыления 200 эВ ионами Хе+

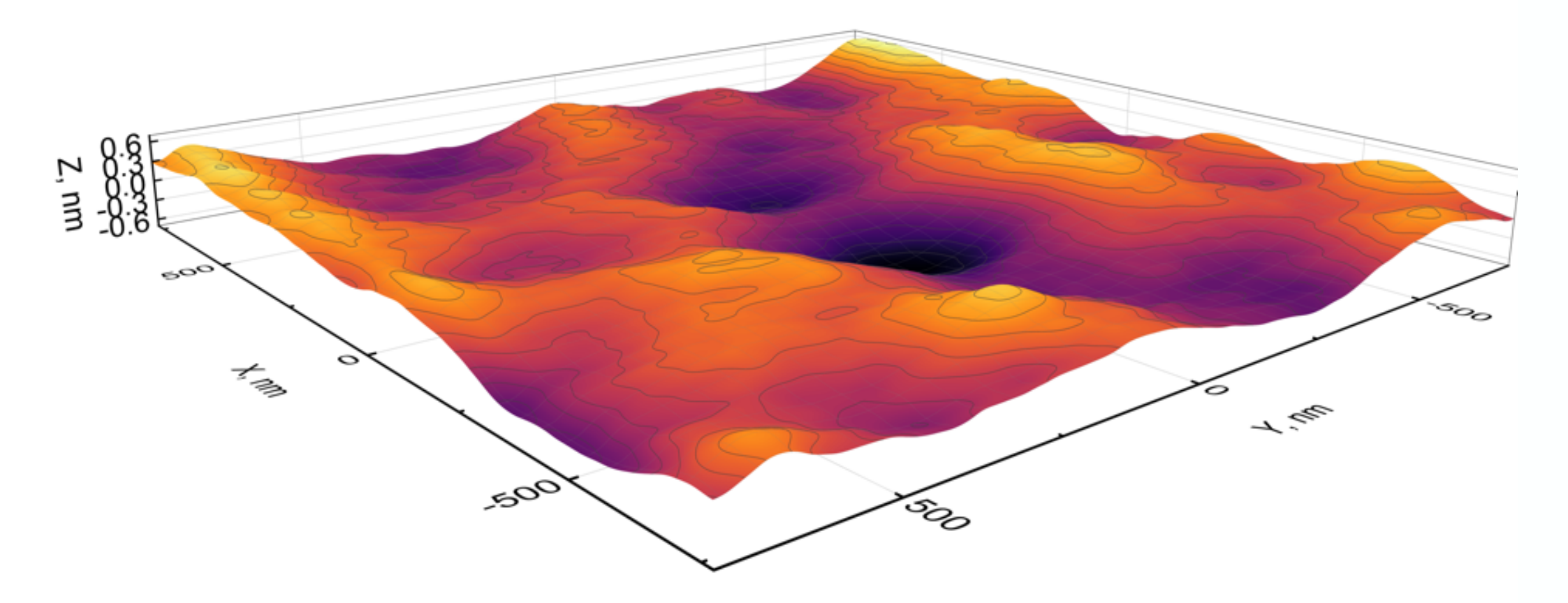


## ACM (AFM) SiO<sub>2</sub>

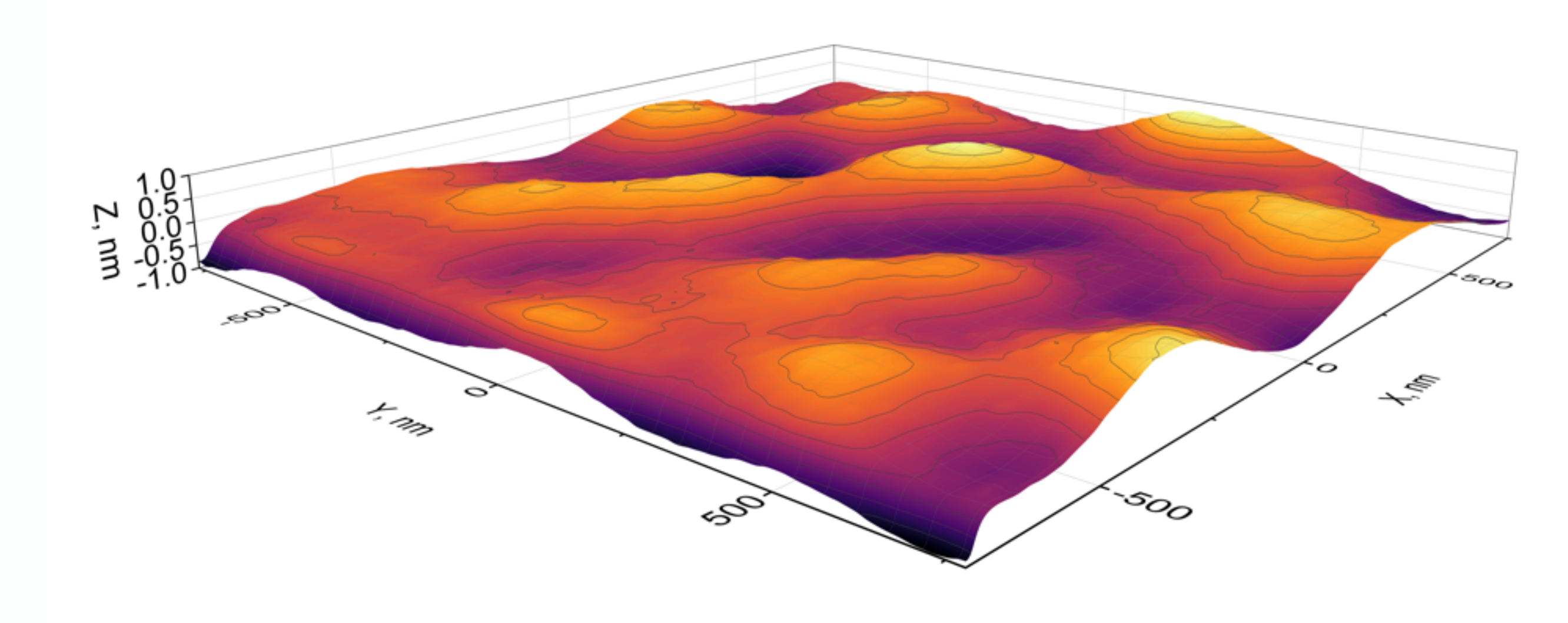


До распыления

### После распыления 200 эВ ионами Ar+



#### После распыления 200 эВ ионами Хе+



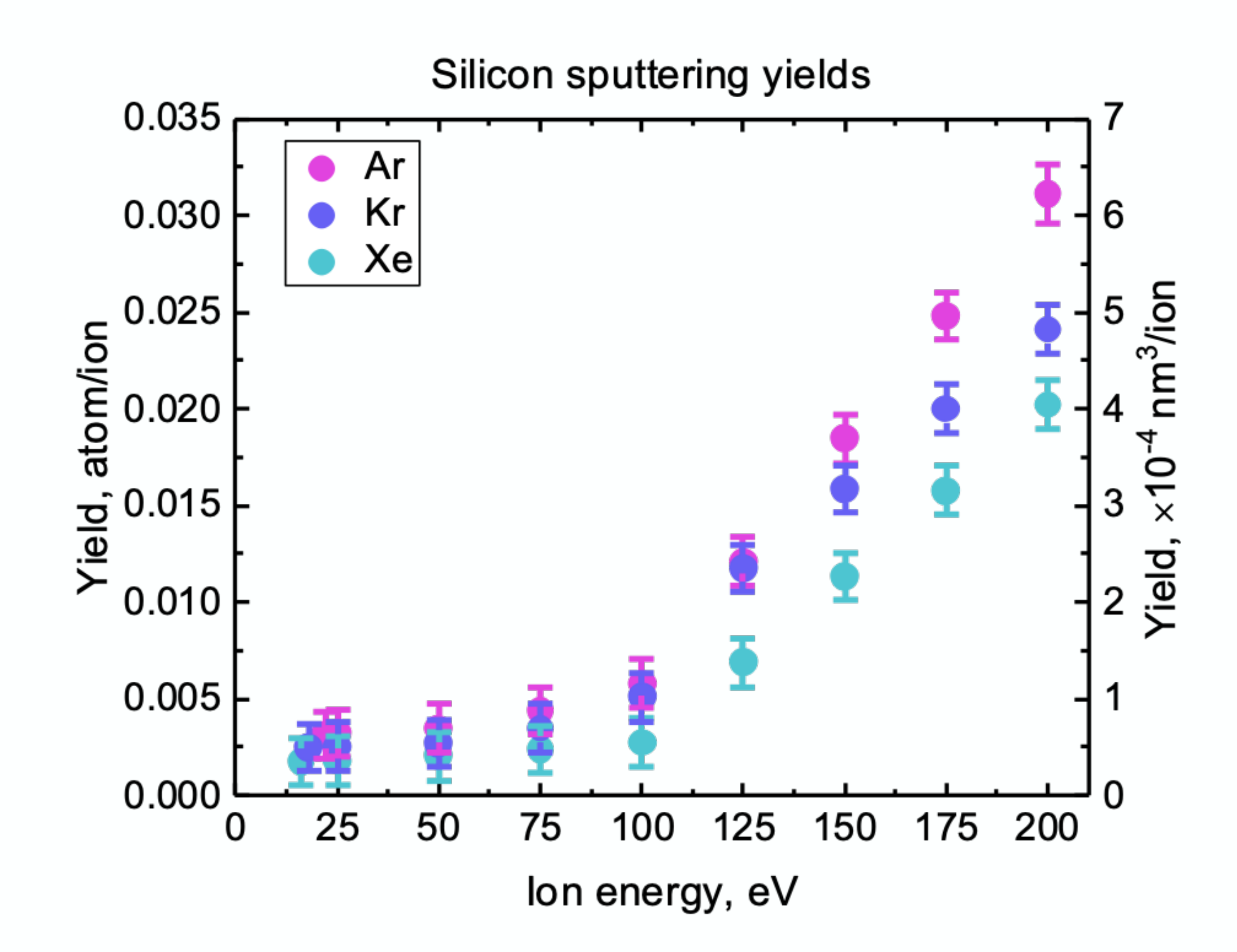
### АСМ (AFM): средняя шероховатость

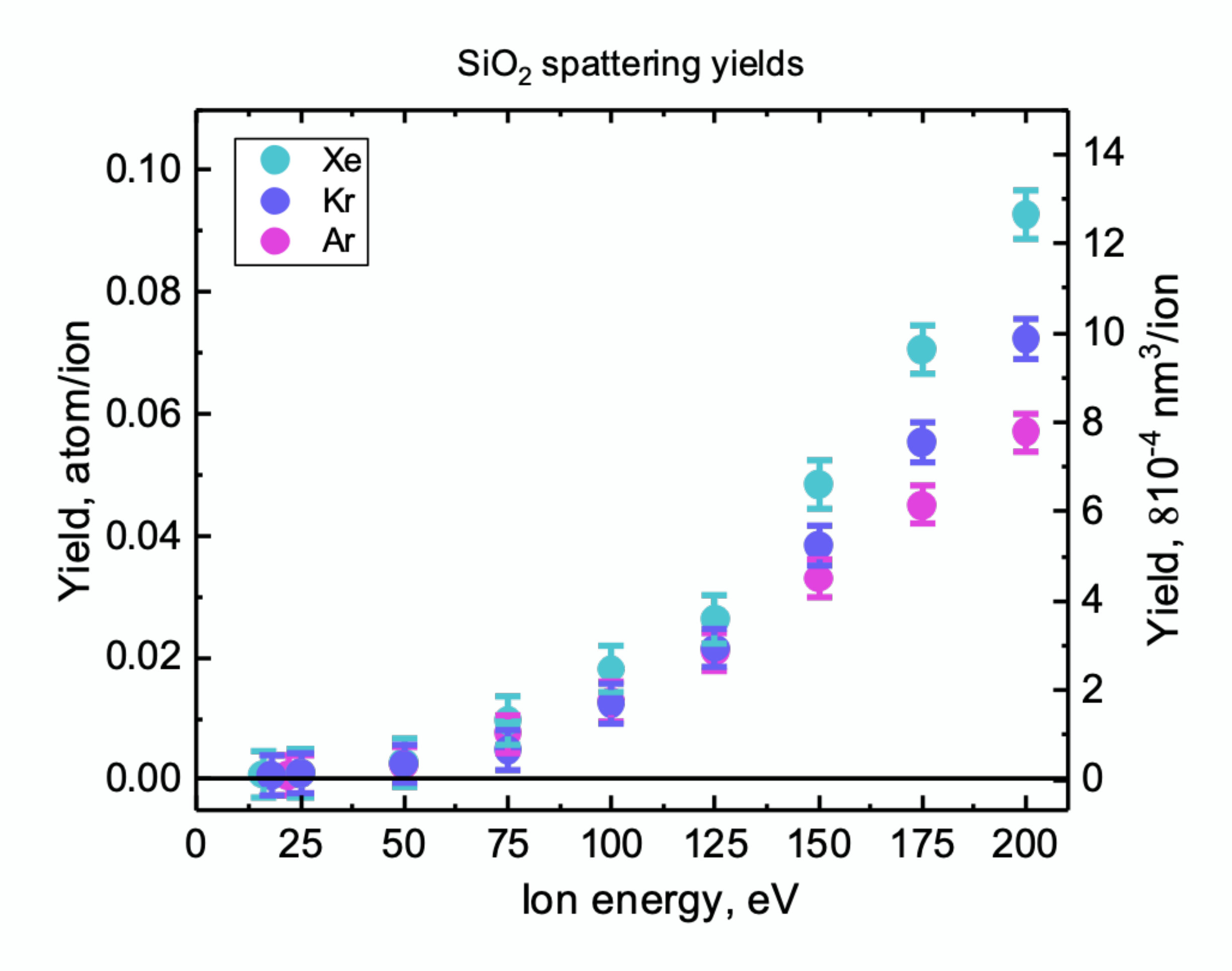


	Si	SiO2
До распыления	士4 HM	<b>土4 нм</b>
После распыления ионами Ar <sup>+</sup>	±0,6 нм	士0,5 HM
После распыления ионами Хе <sup>+</sup>	±0,75 нм	±0,5 нм









# $Y(E_{ion})$ для $SiO_2$ при малой плотности плазмы

	$E_{ion}$ , eV	$Y(E_{ion})$ , atom/ion at $n_e \approx 2 \times 10^9  \mathrm{cm}^{-3}$	$Y(E_{ion})$ , atom/ion at $n_e \approx 1 \times 10^{10}  \mathrm{cm}^{-3}$	$Y(E_{ion})$ , atom/ion by SRIM 2003	
Ar	100	0.074	0.012	0.050	
P = 10  mTorr	200	0.146	0.057	0.148	
Xe	Xe 100 0.071		0.018	0.005	
P = 5  mTorr	200	0.209	0.092	0.044	

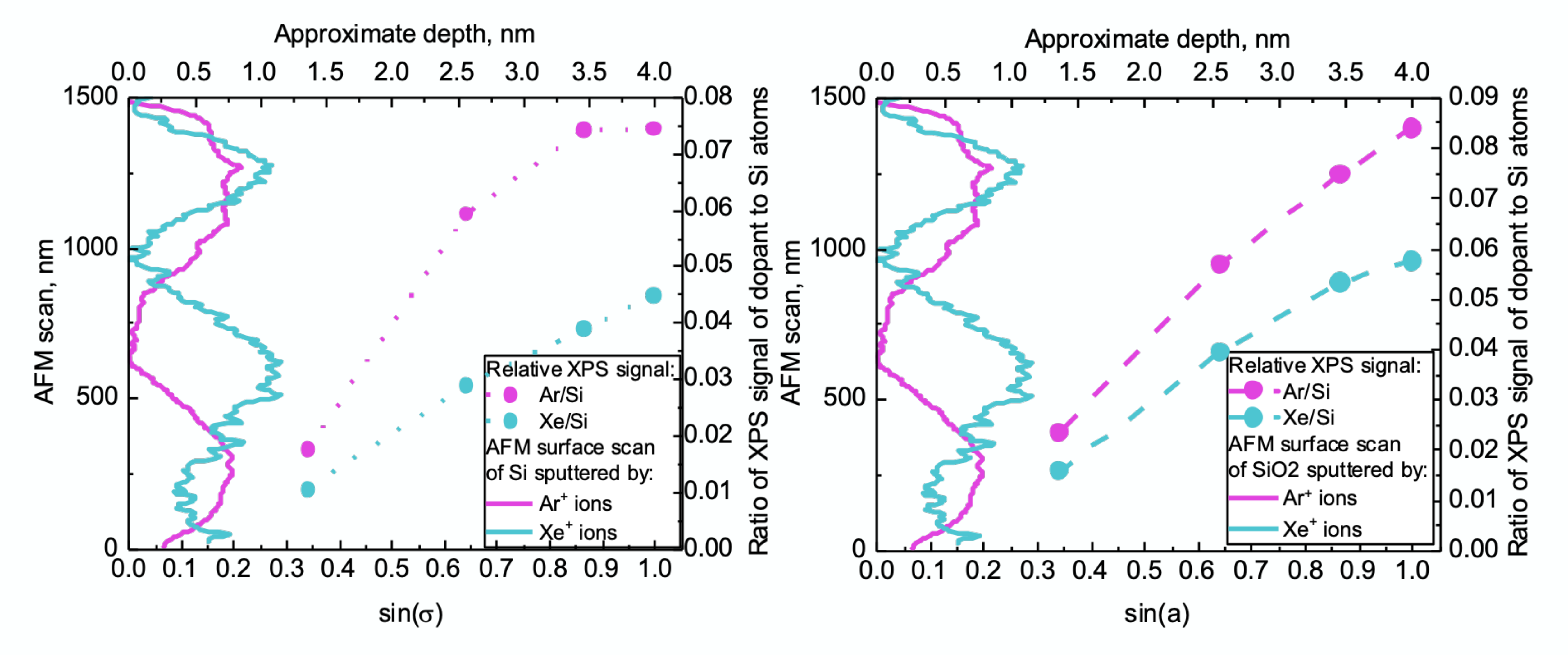


## РФЭС (XPS): имплантация Ar и Xe



Si

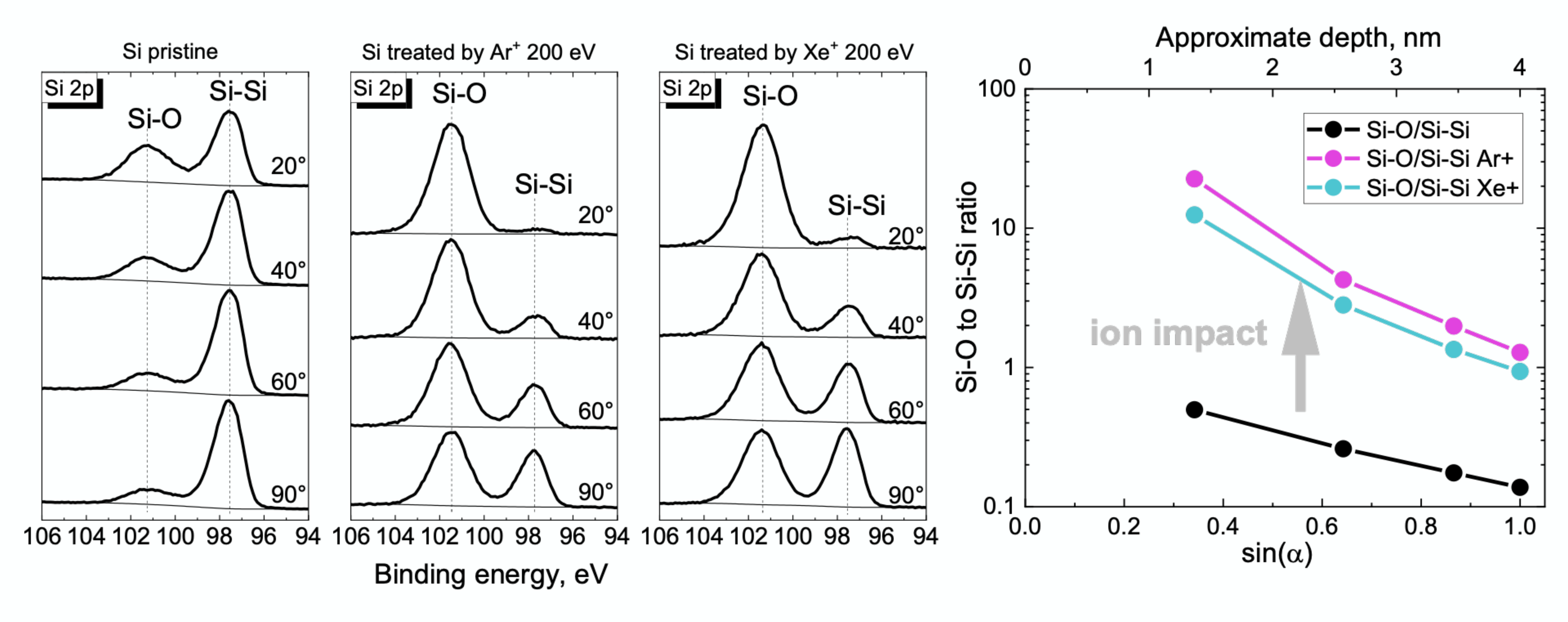
SiO<sub>2</sub>



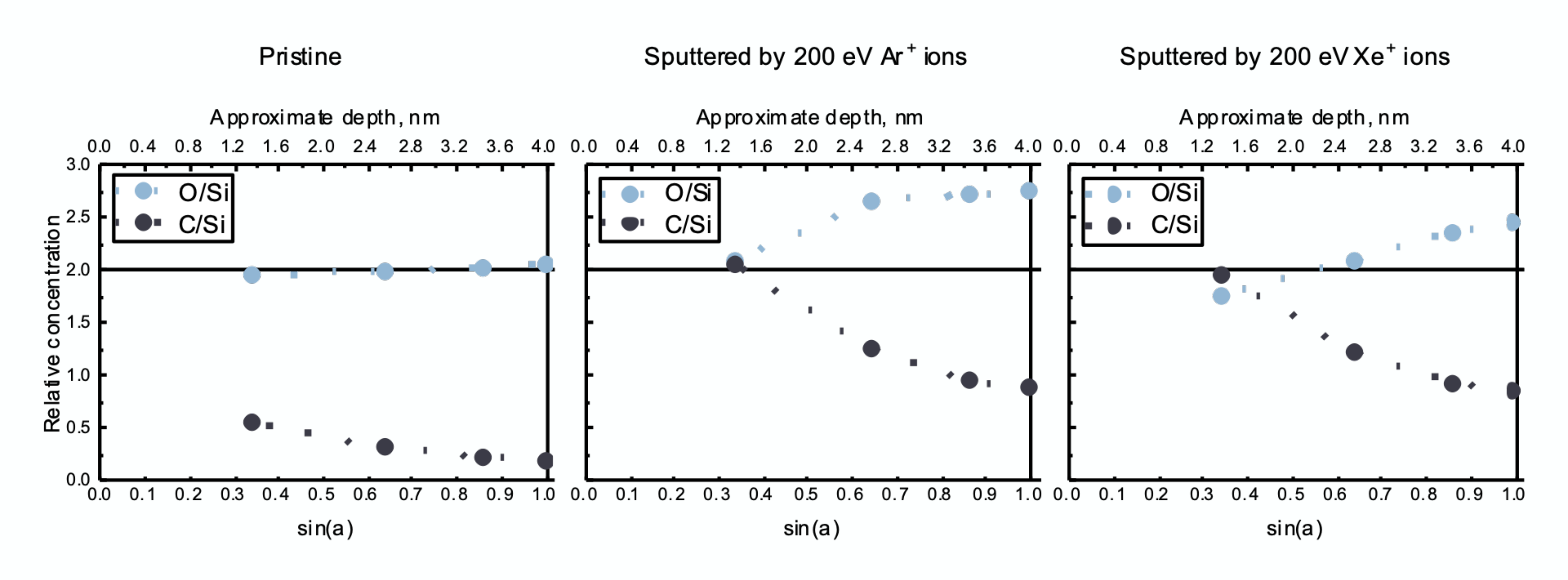
### РФЭС (XPS): поверхностная плотность Ar и Xe

	Si	SiO2
После распыления ионами Ar <sup>+</sup>	~9,2×10 <sup>14</sup> атом/см <sup>2</sup>	~1,12×10 <sup>15</sup> атом/см <sup>2</sup>
После распыления ионами Хе <sup>+</sup>	~5,4×10 <sup>14</sup> атом/см <sup>2</sup>	~5,7×10 <sup>14</sup> атом/см <sup>2</sup>

### РФЭС (XPS): модификация «поверхности» Si



### РФЭС: модификация «поверхности» SiO<sub>2</sub>



### Основные результаты

• Получены зависимости Y(E<sub>ion</sub>)для кремния и диоксида кремния в диапазоне энергий 20–200 эВ ионами Ar, Kr и Xe.

- Y(E<sub>ion</sub>) при энергиях ионов <75 эВ демонстрируют «неклассическое» распыление, вызванное влиянием потоков ВУФ-фотонов и метастабильных атомов.
- Реальная структура SiO₂ может заметно отличаться от общих теоретических представлений и значительно влиять на процесс распыления.

**Ф**РИИН

МГУ











# Sputtering of amorphous Si and SiO2 by low-energy Ar+, Kr+ and Xe+ ions

D.R. Shibanov, D.V. Lopaev, S.M. Zyryanov, A.I. Zotovich, A.T. Rakhimov

Lomonosov Moscow State University, Skobeltsyn Institute of Nuclear Physics (SINP MSU), Moscow, Russia

### Дополнительные материалы



### Контроль за параметрами разрядов В ходе эксперимента в реальном времени измерялись:

- Плазменный и плавающий потенциалы, ФРЭЭ, температура электронов – зондом Ленгмюра;
- Электронная плотность плазмы СВЧ-зондом (Hairpin-probe);
- Химический состав плазмы и ионов квадрупольным масс-спектрометром;
- Распределение ионов по энергии задерживающим анализатором энергии (RFEA);

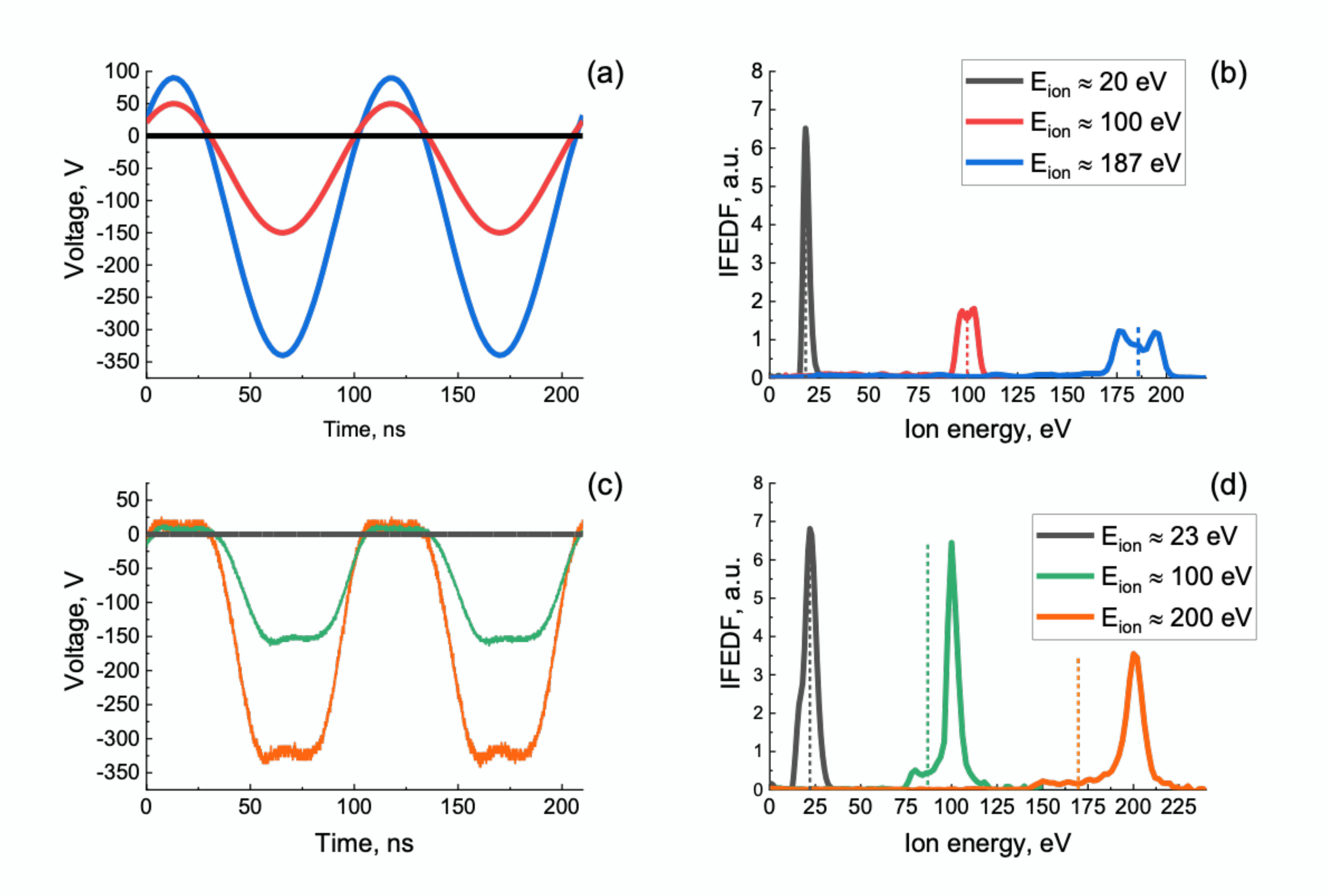


### Контроль за параметрами разрядов В ходе эксперимента в реальном времени измерялись:

- Поток ионов методом самосмещения;
- Давление в камере, проток рабочего газа, напряжения смещения и самосмещения;
- Осциллографом контролировалась форма напряжения смещения;
- Было рассчитано влияние образца на результирующую энергию ионов и угловое распределение ионов.

Все эти данные были необходимы, чтобы обеспечить постоянство разряда в ходе эксперимента, и использовались при расчёте вероятности распыления (sputtering yield).

# Особенность напряжения смещения в используемом разряде

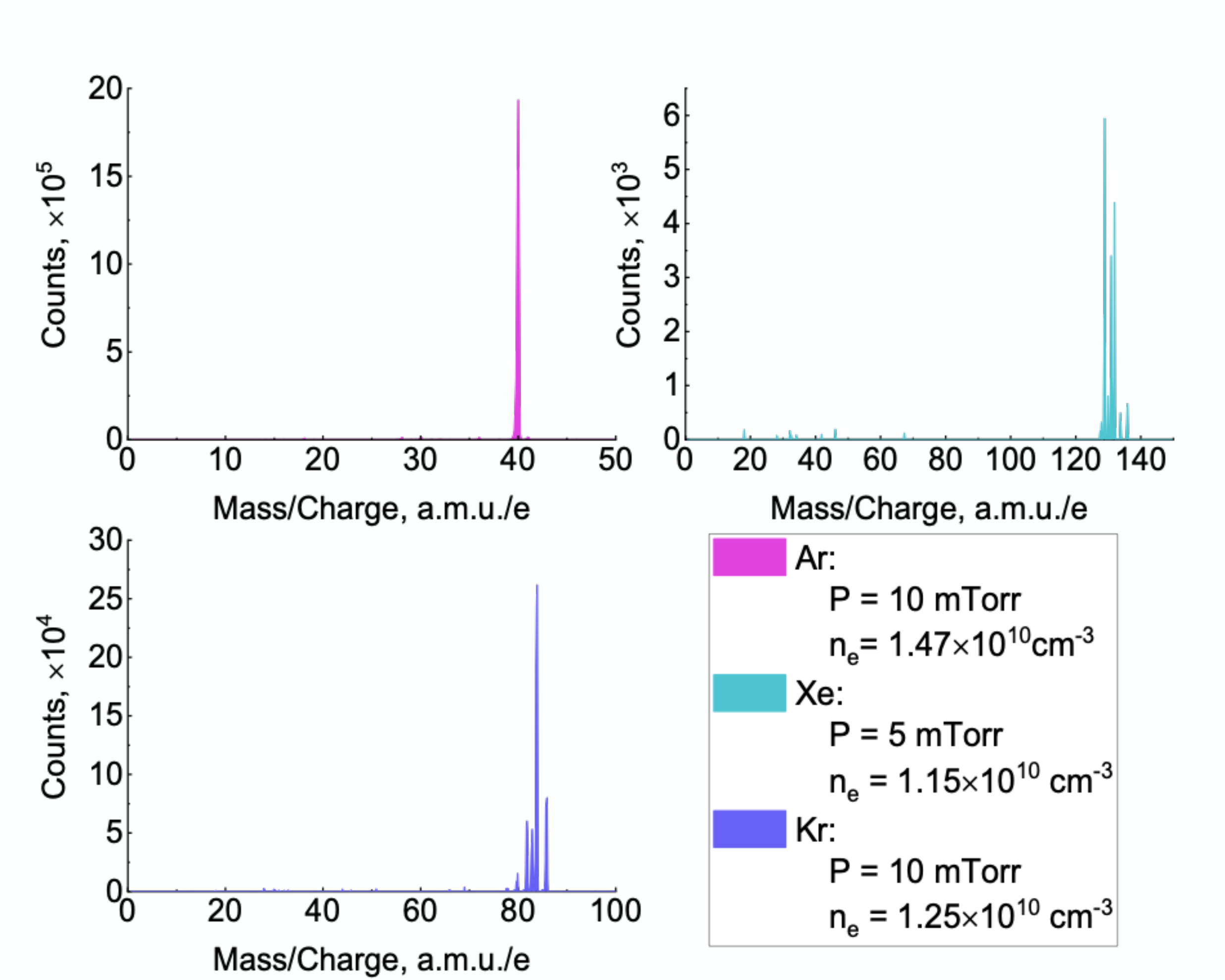


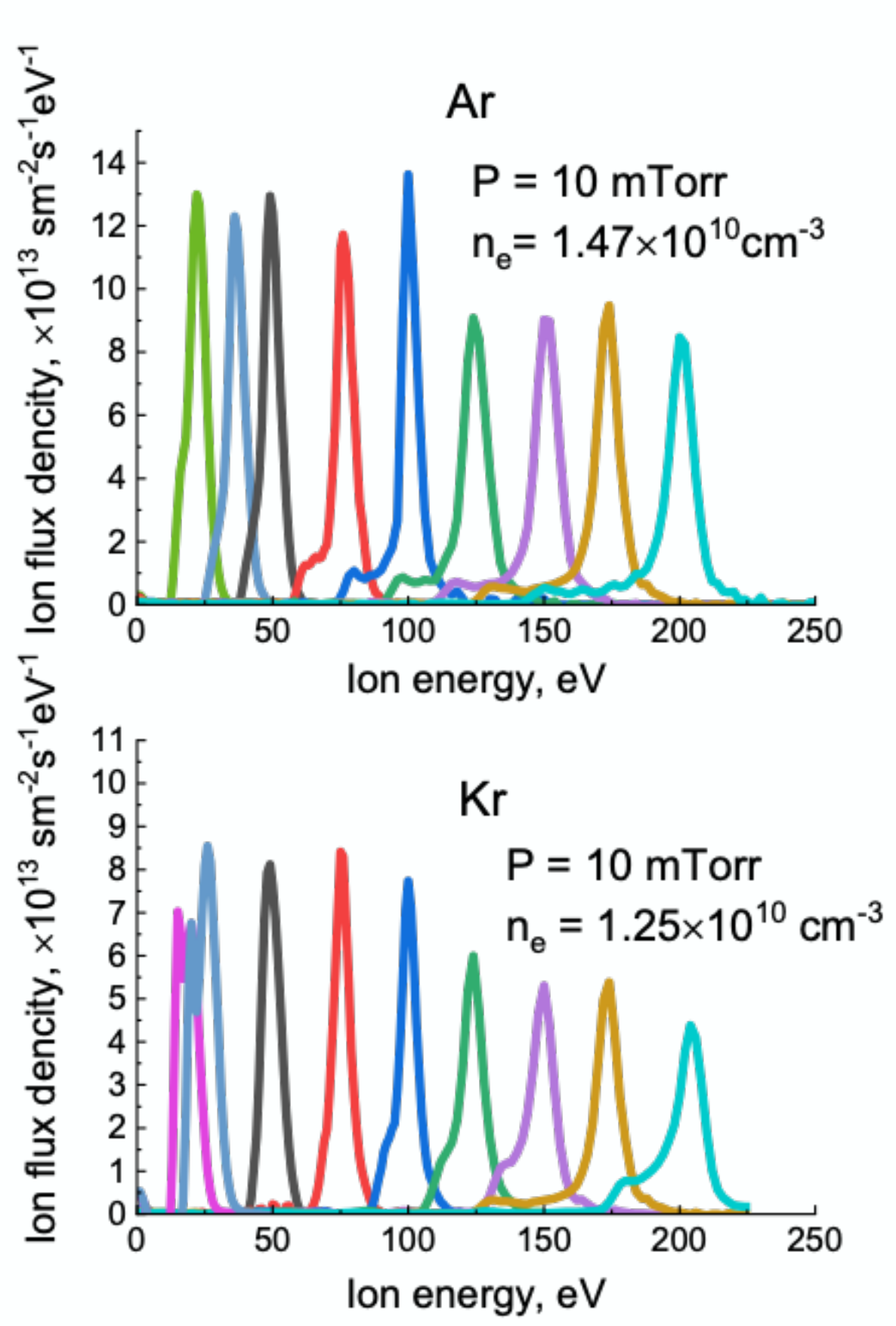
**ФRNNH** 

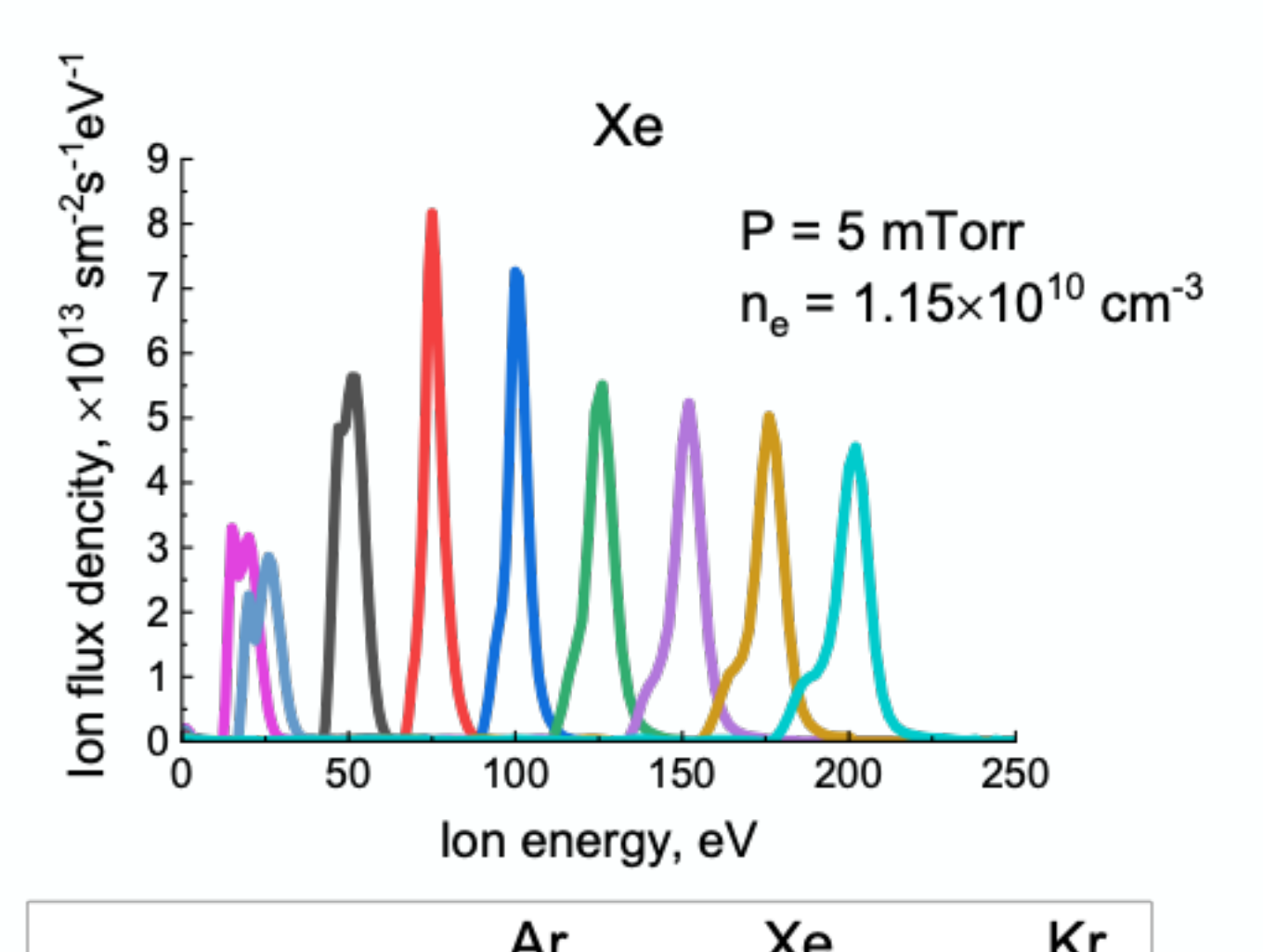
МГУ

### Ионные спектры



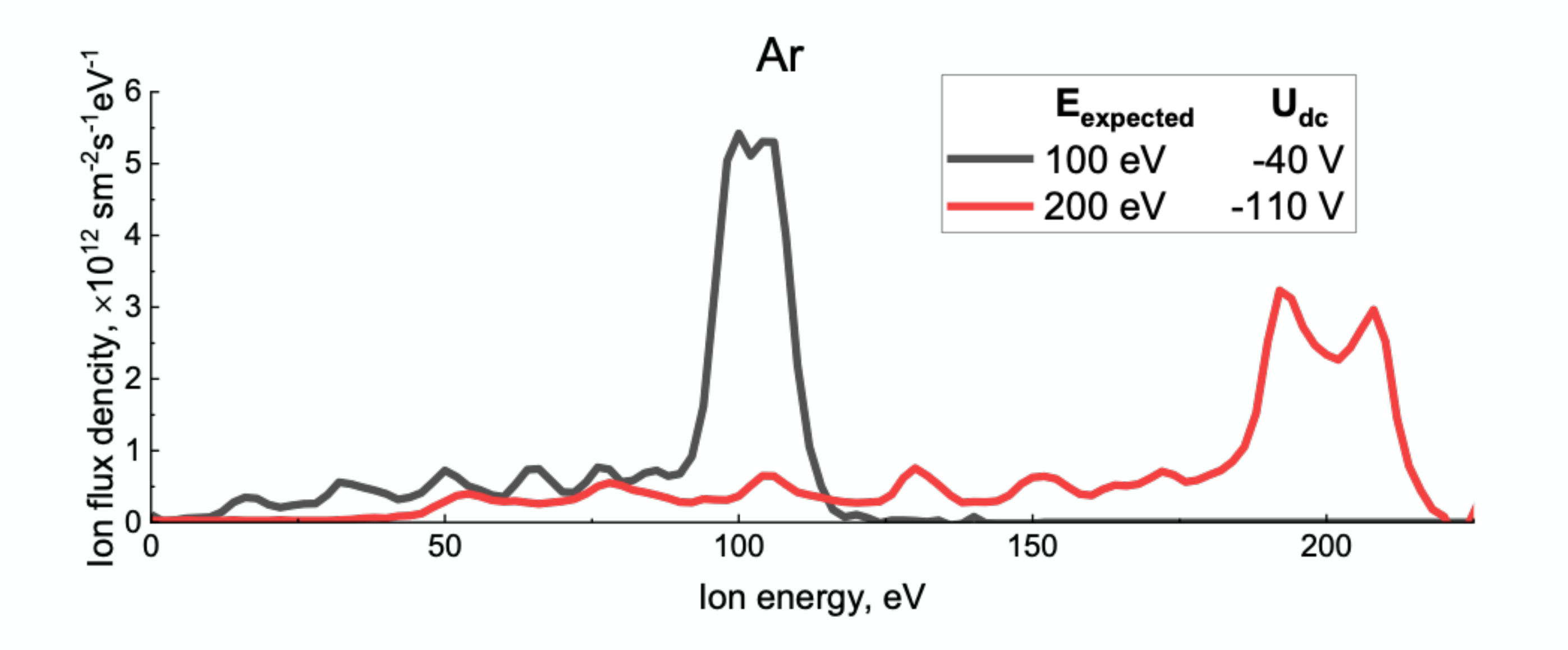


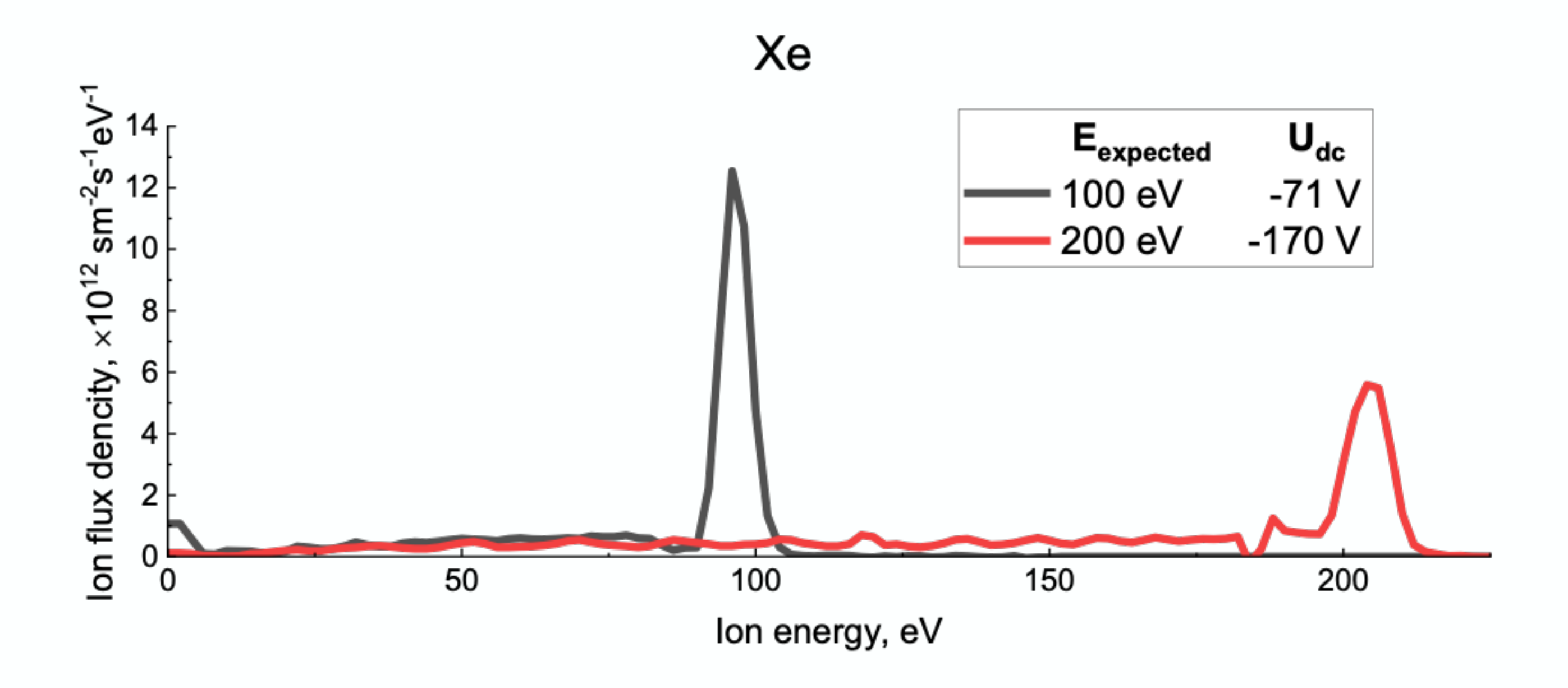




	Ar	Xe	r\r	
E <sub>peak</sub>	$U_{dc}$	$U_{dc}$	$U_{dc}$	
18 eV	-	0	1 V	
22 eV	3 V	-	-	
25 eV	-1 V	-4 V	-3 V	
50 eV	-28 V	-31 V	-30 V	
75 eV	-53 V	-59 V	-57 V	
100 eV	-75 V	-84 V	-81 V	
125 eV	-98 V	-109 V	-105 V	
150 eV	-120 V	-135 V	-129 V	
175 eV	-140 V	-166 V	-154 V	
200 eV	-163 V	-184 V	-180 V	

	$A$ r $P= extbf{10 mTorr}$ $n_{_e}= extbf{1.47}{ imes10^{10}  ext{ cm}^{-3}}$			Xe $P = 5 \text{ mTorr}$ $n_{_e} = 1.15 \times 10^{10} \text{ cm}^{\text{-3}}$			Kr $P = \mathbf{10~mTorr}$ $n_{_e} = \mathbf{1.25 \times 10^{10}~cm^{-3}}$		
$E_{_{ion}}$ , eV	$U_{_{ac}}$ , V	$F_{ion}$ , cm <sup>-2</sup> s <sup>-1</sup>	$U_{_{pl}}$ , V	$U_{_{ac}}$ , V	$F_{ion}$ , cm <sup>-2</sup> s <sup>-1</sup>	$U_{_{pl}}$ , V	$U_{_{dc}}$ , V	$F_{ion}$ , cm <sup>-2</sup> s <sup>-1</sup>	$U_{_{pl}}$ V
18	_	-		0	5.29×10 <sup>14</sup>	11.5	1	6.61×10 <sup>14</sup>	12
22	3	1.01×10 <sup>15</sup>	15.5	-	-	-	-	-	-
25	-1	1.01×10 <sup>15</sup>	15.5	-4	-4 5.30×10 <sup>14</sup>		-3	6.63×10 <sup>14</sup>	12
50	-28	1.07×10 <sup>15</sup>	15.5	-31 5.34×10 <sup>14</sup>		12.5	-30	6.67×10 <sup>14</sup>	13.5
75	-53	1.14×10 <sup>15</sup>	16	-59	5.53×10 <sup>14</sup>	13.5	-57	6.86×10 <sup>14</sup>	14.5
100	-75	1.22×10 <sup>15</sup>	16.5	-84	5.72×10 <sup>14</sup>	14.5	-81	7.05×10 <sup>14</sup>	15.5
125	-98	1.26×10 <sup>15</sup>	17	-109	5.91×10 <sup>14</sup>	15.5	-105	7.24×10 <sup>14</sup>	16
150	-120	1.29×10 <sup>15</sup>	17.5	-135 6.10×10 <sup>14</sup>		16	-129	7.43×10 <sup>14</sup>	17
175	-140	1.31×10 <sup>15</sup>	18	-166	6.29×10 <sup>14</sup>	17.5	-154	7.51×10 <sup>14</sup>	18
200	-163	1.33×10 <sup>15</sup>	19	-184	6.48×10 <sup>14</sup>	18	-180	7.62×10 <sup>14</sup>	18.5





		Ar		Xe		
	P = 10  mTorr			P = 5  mTorr		
	$n_e = 2.2 \times 10^9 \mathrm{cm}^{-3}$			$n_e = 2.6 \times 10^9 \mathrm{cm}^{-3}$		
$E_{ion}$ , $eV$	$U_{dc}$ , $V$	$F_{ion}$ , cm <sup>-2</sup> s <sup>-1</sup>	$U_{pl}$ , $V$	$U_{dc}$ , $V$	$U_{pl}$ , ${ m V}$	
100	-45	1.2×10 <sup>14</sup>	24.5	-71	1.2×10 <sup>14</sup>	25
200	-135	1.3×10 <sup>14</sup>	30	-170	1.3×10 <sup>14</sup>	27.5

